

时间序列分析与R 语言实战

第六章：模型识别（一）：自相关函数

- ① 自相关函数
- ② 样本自相关函数

- ① 自相关函数
- ② 样本自相关函数

自相关函数：概念与 MA 模型

自相关函数：

$$\rho_k = \frac{\text{Cov}(Y_t, Y_{t-k})}{\sqrt{\text{Var}(Y_t)\text{Var}(Y_{t-k})}}, \quad k = 1, 2, \dots$$

• MA(1) 模型：

$$\rho_k = \begin{cases} 1 & k = 0 \\ -\frac{\theta}{1 + \theta^2} & k = 1 \\ 0 & k \geq 2 \end{cases}$$

• MA(q) 模型：

$$\rho_k = \begin{cases} 1 & k = 0 \\ \frac{-\theta_k + \sum_{i=1}^{q-k} \theta_i \theta_{i+k}}{1 + \sum_{i=1}^q \theta_i^2} & 1 \leq k \leq q \\ 0 & k > q \end{cases}$$

自相关函数：AR 模型

- AR(1) 模型:

$$\rho_k = \begin{cases} 1 & k = 0 \\ \phi^k & k \geq 1 \end{cases}$$

- AR(2) 模型:

$$\rho_k = \begin{cases} 1 & k = 0 \\ \frac{\phi_1}{1 - \phi_2} & k = 1 \\ \phi_1 \rho_{k-1} + \phi_2 \rho_{k-2} & k \geq 2 \end{cases}$$

- AR(p) 模型: ρ_k 呈指数衰减

自相关函数：ARMA模型及小结

- ARMA(1,1) 模型:

$$\rho_k = \begin{cases} 1 & k = 0 \\ \frac{(\phi - \theta)(1 - \phi\theta)}{1 - 2\phi\theta + \theta^2} \phi^{k-1} & k \geq 1 \end{cases}$$

- ARMA(p,q) 模型: ρ_k 呈指数衰减

小结:

	AR(p)	MA(q)	ARMA(p, q)
自相关函数	拖尾	q 阶截尾	拖尾

- ① 自相关函数
- ② 样本自相关函数

样本自相关函数：概念

样本自相关函数：

$$r_k = \frac{\sum_{t=k+1}^n (Y_t - \bar{Y})(Y_{t-k} - \bar{Y})}{\sum_{t=1}^n (Y_t - \bar{Y})^2}, \quad k = 1, 2, \dots$$

- 序列 $\{Y_t\}$:

$$Y_t = \mu + \sum_{j=0}^{\infty} \psi_j e_{t-j}$$

其中， e_t 独立同分布并具有零均值和有限的非零方差。

- 假设条件：

$$\sum_{j=0}^{\infty} |\psi_j| < \infty, \quad \sum_{j=0}^{\infty} j \psi_j^2 < \infty$$

样本自相关函数

- **结论：** 对任意固定的 m ，当 $n \rightarrow \infty$ 时， $\sqrt{n}(r_1 - \rho_1, r_2 - \rho_2, \dots, r_m - \rho_m)$ 收敛至 $N(\mathbf{0}, \Sigma)$ 。

$$\Sigma = \begin{bmatrix} c_{11} & c_{12} & \cdots & c_{1m} \\ c_{21} & c_{22} & \cdots & c_{2m} \\ \vdots & \vdots & \ddots & \vdots \\ c_{m1} & c_{m2} & \cdots & c_{mm} \end{bmatrix}$$

其中，

$$c_{ij} = \sum_{k=-\infty}^{\infty} (\rho_{k+i}\rho_{k+j} + \rho_{k-i}\rho_{k+j} - 2\rho_i\rho_k\rho_{k+j} - 2\rho_j\rho_k\rho_{k+i} + \rho_i\rho_j\rho_k^2)$$

- **推论：** n 充分大时， r_k 近似服从 $N(\rho_k, c_{kk}/n)$ ，且 $\text{Corr}(r_k, r_j) \approx c_{kj}/\sqrt{c_{kk}c_{jj}}$

样本自相关函数：白噪声

假设 $\{Y_t\}$ 是白噪声,

$$c_{ij} = \sum_{k=-\infty}^{\infty} (\rho_{k+i}\rho_{k+j} + \rho_{k-i}\rho_{k+j} - 2\rho_i\rho_k\rho_{k+j} - 2\rho_j\rho_k\rho_{k+i} + \rho_i\rho_j\rho_k^2)$$

$$\rho_k = \begin{cases} 1 & k = 0 \\ 0 & k \geq 1 \end{cases}$$

则,

$$c_{kk} = 1 \quad \text{和} \quad c_{ij} = 0, i \neq j$$

样本自相关函数 r_k :

- 方差:

$$\text{Var}(r_k) \approx \frac{1}{n}$$

- 自相关函数:

$$\text{Corr}(r_k, r_j) \approx 0, \quad k \neq j$$

样本自相关函数：AR(1)

假设 $\{Y_t\}$ 是 AR(1) 序列,

$$c_{ij} = \sum_{k=-\infty}^{\infty} (\rho_{k+i}\rho_{k+j} + \rho_{k-i}\rho_{k+j} - 2\rho_i\rho_k\rho_{k+j} - 2\rho_j\rho_k\rho_{k+i} + \rho_i\rho_j\rho_k^2)$$

$$\rho_k = \begin{cases} 1 & k = 0 \\ \phi^k & k > 0 \\ \phi^{-k} & k < 0 \end{cases}$$

则,

- $i = j$ 时

$$c_{kk} = \frac{(1 + \phi^2)(1 - \phi^{2k})}{1 - \phi^2} - 2k\phi^{2k}$$

- 对于一般的 $0 < i < j$,

$$c_{ij} = \frac{(\phi^{j-i} - \phi^{j+i})(1 + \phi^2)}{1 - \phi^2} + (j - i)\phi^{j-i} - (j + i)\phi^{j+i}$$

样本自相关函数：AR(1)

AR(1) 模型的样本自相关函数：

- 方差：

$$\text{Var}(r_k) \approx \frac{1}{n} \left[\frac{(1 + \phi^2)(1 - \phi^{2k})}{1 - \phi^2} - 2k\phi^{2k} \right]$$

- $k = 1$ 时,

$$\text{Var}(r_1) \approx \frac{1 - \phi^2}{n}$$

- k 较大时,

$$\text{Var}(r_k) \approx \frac{1}{n} \left[\frac{1 + \phi^2}{1 - \phi^2} \right]$$

- 自相关函数：

$$\text{Corr}(r_k, r_j) \approx \frac{c_{kj}}{\sqrt{c_{kk}c_{jj}}}$$

- 特别地,

$$\text{Corr}(r_1, r_2) \approx 2\phi \sqrt{\frac{1 - \phi^2}{1 + 2\phi^2 - 3\phi^4}}$$

样本自相关函数：AR(1)

方差与自相关函数：

$$\text{Var}(r_1) \approx \frac{1 - \phi^2}{n}$$

$$\text{Var}(r_2) \approx \frac{1 + 2\phi^2 - 3\phi^4}{n}$$

$$\text{Corr}(r_1, r_2) \approx 2\phi \sqrt{\frac{1 - \phi^2}{1 + 2\phi^2 - 3\phi^4}}$$

$$\text{Var}(r_{10}) \approx \frac{1}{n} \left[\frac{(1 + \phi^2)(1 - \phi^{20})}{1 - \phi^2} - 20\phi^{20} \right]$$

AR(1) 模型选定的 r_k 的大样本结果：

ϕ	$\sqrt{\text{Var}(r_1)}$	$\sqrt{\text{Var}(r_2)}$	$\text{Corr}(r_1, r_2)$	$\sqrt{\text{Var}(r_{10})}$
± 0.9	$0.436/\sqrt{n}$	$0.807/\sqrt{n}$	± 0.972	$2.436/\sqrt{n}$
± 0.7	$0.714/\sqrt{n}$	$1.122/\sqrt{n}$	± 0.891	$1.704/\sqrt{n}$
± 0.4	$0.917/\sqrt{n}$	$1.115/\sqrt{n}$	± 0.658	$1.175/\sqrt{n}$
± 0.2	$0.980/\sqrt{n}$	$1.037/\sqrt{n}$	± 0.378	$1.041/\sqrt{n}$

样本自相关函数：MA(1)

方差与自相关函数：

$$c_{ij} = \sum_{k=-\infty}^{\infty} (\rho_{k+i}\rho_{k+j} + \rho_{k-i}\rho_{k+j} - 2\rho_i\rho_k\rho_{k+j} - 2\rho_j\rho_k\rho_{k+i} + \rho_i\rho_j\rho_k^2)$$

$$c_{11} = 1 - 3\rho_1^2 + 4\rho_1^4 \Rightarrow \text{Var}(r_1) \approx \frac{1 - 3\rho_1^2 + 4\rho_1^4}{n}$$

$$c_{kk} = 1 + 2\rho_1^2, \Rightarrow \text{Var}(r_k) \approx \frac{1 + 2\rho_1^2}{n}, \quad k > 1$$

$$c_{12} = 2\rho_1(1 - \rho_1^2) \Rightarrow \text{Corr}(r_1, r_2) \approx \frac{2\rho_1(1 - \rho_1^2)}{\sqrt{(1 - 3\rho_1^2 + 4\rho_1^4)(1 + 2\rho_1^2)}}$$

MA(1) 模型选定的 r_k 的大样本结果：

θ	$\sqrt{\text{Var}(r_1)}$	$\sqrt{\text{Var}(r_k)}, k > 1$	$\text{Corr}(r_1, r_2)$
± 0.9	$0.709/\sqrt{n}$	$1.222/\sqrt{n}$	∓ 0.864
± 0.7	$0.730/\sqrt{n}$	$1.201/\sqrt{n}$	∓ 0.836
± 0.5	$0.789/\sqrt{n}$	$1.149/\sqrt{n}$	∓ 0.741
± 0.3	$0.892/\sqrt{n}$	$1.073/\sqrt{n}$	∓ 0.532

样本自相关函数：MA(q)

k 阶自相关系数：

$$c_{ij} = \sum_{k=-\infty}^{\infty} (\rho_{k+i}\rho_{k+j} + \rho_{k-i}\rho_{k+j} - 2\rho_i\rho_k\rho_{k+j} - 2\rho_j\rho_k\rho_{k+i} + \rho_i\rho_j\rho_k^2)$$

$$\rho_k = \begin{cases} 1 & k = 0 \\ \frac{-\theta_k + \sum_{i=1}^{q-k} \theta_i \theta_{i+k}}{1 + \sum_{i=1}^q \theta_i^2} & 1 \leq k \leq q \\ 0 & k > q \end{cases}$$

$i = j$ 时,

$$c_{kk} = 1 + 2 \sum_{j=1}^q \rho_j^2, \quad k > q$$

则方差,

$$\text{Var}(r_k) \approx \frac{1}{n} [1 + 2 \sum_{j=1}^q \rho_j^2], \quad k > q$$

时间序列分析与R 语言实战

第六章：模型识别（二）：偏自相关函数和扩展的自相关函数

- ① 偏自相关函数
- ② 扩展的自相关函数

① 偏自相关函数

- 偏自相关函数
- 样本偏自相关函数

② 扩展的自相关函数

偏自相关函数：引例

AR(1):

$$Y_t = \phi Y_{t-1} + e_t$$

那么,

$$\begin{aligned}\gamma_2 &= \text{Cov}(Y_t, Y_{t-2}) \\ &= \text{Cov}(\phi Y_{t-1} + e_t, Y_{t-2}) \\ &= \text{Cov}(\phi(\phi Y_{t-2} + e_{t-1}) + e_t, Y_{t-2}) \\ &= \text{Cov}(\phi^2 Y_{t-2} + \phi e_{t-1} + e_t, Y_{t-2}) \\ &= \phi^2 \gamma_0\end{aligned}$$

受 Y_{t-1} 的影响, Y_t 与 Y_{t-2} 相关。

偏自相关函数：引例（续）及定义

AR(1):

$$Y_t = \phi Y_{t-1} + e_t$$

消除 Y_{t-1} 的影响,

$$\text{Cov}(Y_t - \phi Y_{t-1}, Y_{t-2} - \phi Y_{t-1}) = \text{Cov}(e_t, Y_{t-2} - \phi Y_{t-1}) = 0$$

定义

消除中间介入变量 $Y_{t-1}, Y_{t-2}, Y_{t-3}, \dots, Y_{t-k+1}$ 的影响后, Y_t 和 Y_{t-k} 的相关系数函数, 称为 k 阶滞后偏自相关系数。

偏自相关函数：数学表达

对平稳序列 $\{Y_t\}$,

- Y_t 的条件期望:

$$\hat{E}Y_t = E(Y_t | Y_{t-1}, Y_{t-2}, \dots, Y_{t-k+1})$$

- Y_{t-k} 的条件期望:

$$\hat{E}Y_{t-k} = E(Y_{t-k} | Y_{t-1}, Y_{t-2}, \dots, Y_{t-k+1})$$

- k 阶滞后偏自相关系数:

$$\phi_{kk} = \frac{E(Y_t - \hat{E}Y_t)(Y_{t-k} - \hat{E}Y_{t-k})}{E(Y_{t-k} - \hat{E}Y_{t-k})^2}$$

偏自相关函数：数学表达

假设序列 $\{Y_t\}$ 零均值，使用 $Y_{t-1}, Y_{t-2}, Y_{t-3}, \dots, Y_{t-k+1}$ 的线性函数对 Y_t 和 Y_{t-k} 进行预测

- Y_t 最优预测表达式为：

$$\beta_1 Y_{t-1} + \beta_2 Y_{t-2} + \dots + \beta_{k-1} Y_{t-k+1}$$

- Y_{t-k} 最优预测表达式为：

$$\beta_1 Y_{t-k+1} + \beta_2 Y_{t-k+2} + \dots + \beta_{k-1} Y_{t-1}$$

注：

$$\min_{\beta_1, \beta_2, \dots, \beta_{k-1}} E(Y_t - \beta_1 Y_{t-1} - \beta_2 Y_{t-2} - \dots - \beta_{k-1} Y_{t-k+1})^2$$

偏自相关函数：数学表达

k 阶滞后偏自相关函数：

- $k = 1$,

$$\phi_{11} = \text{Corr}(Y_t, Y_{t-1}) = \rho_1$$

- $k \geq 2$,

$$\phi_{kk} = \text{Corr}(Y_t - \beta_1 Y_{t-1} - \beta_2 Y_{t-2} - \cdots - \beta_{k-1} Y_{t-k+1}, \\ Y_{t-k} - \beta_1 Y_{t-k+1} - \beta_2 Y_{t-k+2} - \cdots - \beta_{k-1} Y_{t-1})$$

特别地：基于正态分布假设

$$\phi_{kk} = \text{Corr}(Y_t, Y_{t-k} | Y_{t-1}, Y_{t-2}, Y_{t-3}, \cdots, Y_{t-k+1})$$

偏自相关函数: $k = 2$

对平稳序列 $\{Y_t\}$, 假设只基于 Y_{t-1} 对 Y_t 和 Y_{t-2} 进行预测,

- 均方误差:

$$E(Y_t - \beta Y_{t-1})^2 = \gamma_0 - 2\beta\gamma_1 + \beta^2\gamma_0$$

- 最小化均方误差:

$$\min_{\beta} E(Y_t - \beta Y_{t-1})^2$$

- β 求解:

$$\begin{aligned}\frac{\partial g(\beta)}{\partial \beta} &= 2\beta\gamma_0 - 2\gamma_1 = 0 \\ \implies \beta &= \frac{\gamma_1}{\gamma_0} = \rho_1\end{aligned}$$

- Y_t 最优预测表达式为: $\rho_1 Y_{t-1}$
- 同样地, Y_{t-2} 最优预测表达式为: $\rho_1 Y_{t-1}$

偏自相关函数: $k = 2$

消除 Y_{t-1} 影响,

- 协方差:

$$\text{Cov}(Y_t - \rho_1 Y_{t-1}, Y_{t-2} - \rho_1 Y_{t-1}) = \gamma_2 - \rho_1 \gamma_1 - \rho_1 \gamma_1 + \rho_1^2 \gamma_0 = \gamma_0(\rho_2 - \rho_1^2)$$

- 方差:

$$\text{Var}(Y_t - \rho_1 Y_{t-1}) = \text{Var}(Y_{t-2} - \rho_1 Y_{t-1}) = \gamma_0 - 2\rho_1 \gamma_1 + \rho_1^2 \gamma_0 = \gamma_0(1 - \rho_1^2)$$

二阶滞后偏自相关函数:

$$\phi_{22} = \frac{\rho_2 - \rho_1^2}{1 - \rho_1^2}$$

偏自相关函数：AR 模型

AR(1): $k = 2$ 时,

$$\phi_{22} = \frac{\phi^2 - \phi^2}{1 - \phi^2} = 0$$

$$\rho_k = \phi^k, k = 1, 2, \dots$$

$$\phi_{11} = \rho_1$$

$$\phi_{22} = \frac{\rho_2 - \rho_1^2}{1 - \rho_1^2}$$

- 对所有的 $k > 1$, $\phi_{kk} = 0$ 。

AR(p): $k > p$ 时, 基于 $Y_{t-1}, Y_{t-2}, Y_{t-3}, \dots, Y_{t-k+1}$ 对 Y_t 和 Y_{t-k} 进行预测,

- Y_t 最优预测表达式为:

$$\phi_1 Y_{t-1} + \phi_2 Y_{t-2} + \dots + \phi_p Y_{t-p}$$

- Y_{t-k} 最优预测表达式为:

$$h(Y_{t-1}, Y_{t-2}, \dots, Y_{t-p}, \dots, Y_{t-k+1})$$

偏自相关函数：AR 模型

AR(p): 消除 $Y_{t-1}, Y_{t-2}, Y_{t-3}, \dots, Y_{t-k+1}$ 影响,

- 协方差:

$$\begin{aligned} & \text{Cov}(Y_t - \phi_1 Y_{t-1} - \phi_2 Y_{t-2} - \dots - \phi_p Y_{t-p}, \\ & \quad Y_{t-k} - h(Y_{t-k+1}, Y_{t-k+2}, \dots, Y_{t-1})) \\ &= \text{Cov}(e_t, Y_{t-k} - h(Y_{t-k+1}, Y_{t-k+2}, \dots, Y_{t-1})) \\ &= 0 \end{aligned}$$

- k 阶滞后偏自相关函数:

$$\phi_{kk} = 0, \quad k > p$$

偏自相关函数：Y-W 方程

Y-W 方程

对具有 ρ_k 的平稳过程，可通过下面的Yule-Walker方程求解 ϕ_{kk} ：

$$\rho_j = \phi_{k1}\rho_{j-1} + \phi_{k2}\rho_{j-2} + \phi_{k3}\rho_{j-3} + \cdots + \phi_{kk}\rho_{j-k}, \quad j = 1, 2, \dots, k$$

k 个线性方程组：

$$\begin{cases} \rho_1 = \phi_{k1} + \rho_1\phi_{k2} + \rho_2\phi_{k3} + \cdots + \rho_{k-1}\phi_{kk} \\ \rho_2 = \rho_1\phi_{k1} + \phi_{k2} + \rho_1\phi_{k3} + \cdots + \rho_{k-2}\phi_{kk} \\ \vdots \\ \rho_k = \rho_{k-1}\phi_{k1} + \rho_{k-2}\phi_{k2} + \rho_{k-3}\phi_{k3} + \cdots + \phi_{kk} \end{cases}$$

偏自相关函数：Y-W 方程证明

- 假设平稳序列 $\{Y_t\}$ 零均值，使用 $Y_{t-1}, Y_{t-2}, Y_{t-3}, \dots, Y_{t-k}$ 的线性函数对 Y_t 进行拟合：

$$Y_t = \beta_1 Y_{t-1} + \beta_2 Y_{t-2} + \dots + \beta_k Y_{t-k} + e_t$$

- 取条件期望：

$$\begin{aligned}\hat{E}Y_t &= \beta_1 Y_{t-1} + \beta_2 Y_{t-2} + \dots + \beta_{k-1} Y_{t-k+1} + \beta_k \hat{E}Y_{t-k} \\ &\quad + E(e_t | Y_{t-1}, Y_{t-2}, \dots, Y_{t-k+1})\end{aligned}$$

等价于，

$$\hat{E}Y_t = \beta_1 Y_{t-1} + \beta_2 Y_{t-2} + \dots + \beta_{k-1} Y_{t-k+1} + \beta_k \hat{E}Y_{t-k}$$

- 于是，

$$Y_t - \hat{E}Y_t = \beta_k (Y_{t-k} - \hat{E}Y_{t-k}) + e_t$$

偏自相关函数：Y-W 方程证明

- 同时乘以 $Y_{t-k} - \hat{E}Y_{t-k}$ ，求期望：

$$E(Y_t - \hat{E}Y_t)(Y_{t-k} - \hat{E}Y_{t-k}) = \beta_k E(Y_{t-k} - \hat{E}Y_{t-k})^2 + E[e_t(Y_{t-k} - \hat{E}Y_{t-k})]$$

- 系数 β_k ,

$$\beta_k = \frac{E(Y_t - \hat{E}Y_t)E(Y_{t-k} - \hat{E}Y_{t-k})}{E(Y_{t-k} - \hat{E}Y_{t-k})^2}$$

- Y_t 最佳拟合：

$$x_t - \mu = \phi_{11}x_{t-1} + w_{1t},$$

$$x_t - \mu = \phi_{21}x_{t-1} + \phi_{22}x_{t-2} + w_{2t},$$

$$\vdots$$

$$x_t - \mu = \phi_{p1}x_{t-1} + \phi_{p2}x_{t-2} + \cdots + \phi_{pp}x_{t-p} + w_{pt},$$

$$Y_t = \phi_{k1}Y_{t-1} + \phi_{k2}Y_{t-2} + \cdots + \phi_{kk}Y_{t-k} + e_t$$

- 同乘 Y_{t-j} ，求期望，然后除以 γ_0 ：

$$\rho_j = \phi_{k1}\rho_{j-1} + \phi_{k2}\rho_{j-2} + \phi_{k3}\rho_{j-3} + \cdots + \phi_{kk}\rho_{j-k}, \quad j = 1, 2, \dots, k$$

偏自相关函数：Y-W 方程

线性方程组的矩阵形式：

$$\begin{pmatrix} 1 & \rho_1 & \cdots & \rho_{k-1} \\ \rho_1 & 1 & \cdots & \rho_{k-2} \\ \vdots & \vdots & \ddots & \vdots \\ \rho_{k-1} & \rho_{k-2} & \cdots & 1 \end{pmatrix} \begin{pmatrix} \phi_{k1} \\ \phi_{k2} \\ \vdots \\ \phi_{kk} \end{pmatrix} = \begin{pmatrix} \rho_1 \\ \rho_2 \\ \vdots \\ \rho_k \end{pmatrix}$$

根据 Cramer 法则，

$$\phi_{kk} = \frac{|D_k|}{|D|}$$

其中，

$$D = \begin{pmatrix} 1 & \rho_1 & \cdots & \rho_{k-1} \\ \rho_1 & 1 & \cdots & \rho_{k-2} \\ \vdots & \vdots & \ddots & \vdots \\ \rho_{k-1} & \rho_{k-2} & \cdots & 1 \end{pmatrix}, \quad D_k = \begin{pmatrix} 1 & \rho_1 & \cdots & \rho_1 \\ \rho_1 & 1 & \cdots & \rho_2 \\ \vdots & \vdots & \ddots & \vdots \\ \rho_{k-1} & \rho_{k-2} & \cdots & \rho_k \end{pmatrix}$$

偏自相关函数

递推公式:

$$\phi_{kk} = \frac{\rho_k - \sum_{j=1}^{k-1} \phi_{k-1,j} \rho_{k-j}}{1 - \sum_{j=1}^{k-1} \phi_{k-1,j} \rho_j}$$

其中,

$$\phi_{k,j} = \phi_{k-1,j} - \phi_{kk} \phi_{k-1,k-j}, \quad j = 1, 2, \dots, k-1$$

- 一阶滞后偏自相关函数:

$$\phi_{11} = \rho_1$$

- 二阶滞后偏自相关函数:

$$\phi_{22} = \frac{\rho_2 - \phi_{11}\rho_1}{1 - \phi_{11}\rho_1} = \frac{\rho_2 - \rho_1^2}{1 - \rho_1^2}$$

- 三阶滞后偏自相关函数:

$$\phi_{33} = \frac{\rho_3 - \phi_{21}\rho_2 - \phi_{22}\rho_1}{1 - \phi_{21}\rho_1 - \phi_{22}\rho_2}$$

偏自相关函数: MA(1)

MA(1):

$$Y_t = e_t - \theta e_{t-1}$$

$$\rho_k = \begin{cases} 1 & k = 0 \\ -\frac{\theta}{1 + \theta^2} & k = 1 \\ 0 & k \geq 2 \end{cases}$$

- 一阶滞后偏自相关函数:

$$\phi_{11} = \rho_1 = \frac{-\theta}{1 + \theta^2}$$

- 二阶滞后偏自相关函数:

$$\phi_{22} = \frac{\rho_2 - \rho_1^2}{1 - \rho_1^2} = \frac{-\theta^2}{1 + \theta^2 + \theta^4}$$

偏自相关函数：MA(1) 模型与小结

MA(1):

$$Y_t = e_t - \theta e_{t-1}$$

- k 阶滞后偏自相关函数:

$$\phi_{kk} = \frac{\theta^k(1 - \theta^2)}{1 - \theta^{2(k+1)}}, \quad k \geq 1$$

小结:

	AR(p)	MA(q)	ARMA(p, q)
偏自相关函数	p 阶截尾	拖尾	拖尾

① 偏自相关函数

- 偏自相关函数
- 样本偏自相关函数

② 扩展的自相关函数

样本偏自相关函数

样本偏自相关函数：

$$\hat{\phi}_{kk} = \frac{r_k - \sum_{j=1}^{k-1} \hat{\phi}_{k-1,j} r_{k-j}}{1 - \sum_{j=1}^{k-1} \hat{\phi}_{k-1,j} r_j}$$

其中，

$$\hat{\phi}_{k,j} = \hat{\phi}_{k-1,j} - \hat{\phi}_{kk} \hat{\phi}_{k-1,k-j}, \quad j = 1, 2, \dots, k-1$$

- AR(p) 模型下， $k > p$ 时， $\hat{\phi}_{kk}$ 近似服从 $N(0, 1/n)$ 。

- ① 偏自相关函数
- ② 扩展的自相关函数

扩展的自相关函数：原理

原理：

- 假设 ARMA 模型的 AR 部分已知
- 在观测时间序列中“滤出”自回归部分，可得到一个纯 MA 过程
- 自回归部分的系数，可通过有限次的回归来估计

扩展的自相关函数：ARMA(1,1) 模型

ARMA(1,1):

$$Y_t = \phi Y_{t-1} + e_t - \theta e_{t-1}$$

- 假设模型为纯AR模型，进行回归：

$$Y_t = \phi^{(0)} Y_{t-1} + e_t^{(0)}$$

估计值 $\hat{\phi}^{(0)} = \rho_1 = (\phi - \theta)(1 - \phi\theta)/(1 - 2\phi\theta + \theta^2)$

- 第一次回归：

$$Y_t = \phi^{(1)} Y_{t-1} + \beta_1^{(1)} \hat{e}_{t-1}^{(0)} + e_t^{(1)}$$

其中， $\hat{e}_t^{(0)} = Y_t - \hat{\phi}^{(0)} Y_{t-1}$ ，估计值 $\hat{\phi}^{(1)} = \tilde{\phi}$ 为 ϕ 的一致估计值， $W_t = Y_t - \tilde{\phi} Y_{t-1}$ 近似为 MA(1) 过程。

扩展的自相关函数：ARMA(p, q) 模型

ARMA(p, q):

$$Y_t = \phi_1 Y_{t-1} + \phi_2 Y_{t-2} + \cdots + \phi_p Y_{t-p} + e_t - \theta_1 e_{t-1} - \theta_2 e_{t-2} - \cdots - \theta_q e_{t-q}$$

- 假设模型为纯AR模型，进行回归：

$$Y_t = \sum_{l=1}^p \phi_l^{(0)} Y_{t-l} + e_t^{(0)}$$

- 第一次回归：

$$Y_t = \sum_{l=1}^p \phi_l^{(1)} Y_{t-l} + \beta_1^{(1)} \hat{e}_{t-1}^{(0)} + e_t^{(1)}$$

$$\text{其中 } \hat{e}_t^{(0)} = Y_t - \sum_{l=1}^p \hat{\phi}_l^{(0)} Y_{t-l}$$

- 第二次回归：

$$Y_t = \sum_{l=1}^p \phi_l^{(2)} Y_{t-l} + \beta_1^{(2)} \hat{e}_{t-1}^{(1)} + \beta_2^{(2)} \hat{e}_{t-2}^{(0)} + e_t^{(2)}$$

扩展的自相关函数：ARMA(p, q) 模型

- 第 j 次回归：

$$Y_t = \sum_{l=1}^k \phi_l^{(j)} Y_{t-l} + \sum_{i=1}^j \beta_i^{(j)} \hat{e}_{t-i}^{(j-1)} + e_t^{(j)}$$

- 通过一系列回归：

$$W_{t,k,j} = Y_t - \tilde{\phi}_1 Y_{t-1} - \tilde{\phi}_2 Y_{t-2} - \cdots - \tilde{\phi}_k Y_{t-k}$$

- 定义 $W_{t,k,j}$ 的样本自相关系数为扩展的样本自相关系数（EACF）。
- 当 $k = p, j \geq q$ 时， $\{W_{t,k,j}\}$ 近似为 MA(q) 模型。
- 当 $k > p$ 时，出现过拟合。
- $j+1$ 阶滞后之后， $W_{t,k,j}$ 的样本自相关系数近似服从 $N(0, 1/(n-k-j))$ 。

时间序列分析与R 语言实战

第六章：模型识别（三）：模拟案例分析

Outline

- ① 识别方法
- ② 模拟数据

Outline

- ① 识别方法
- ② 模拟数据

识别方法：ACF 和 PACF 的一般特征

ARMA 模型 ACF 和 PACF 的一般特征

	AR(p)	MA(q)	ARMA(p, q)
ACF	拖尾	q 阶截尾	拖尾
PACF	p 阶截尾	拖尾	拖尾

小知识：假设检验

假设检验

- 基本思想：小概率反证法
- 步骤：
 - 提出原假设 H_0 ，则 H_0 的对立面为备择假设 H_1
 - 假设 H_0 成立，计算由样本得到的统计量
 - 根据统计量的大小和分布，做出统计推断

识别方法：MA(q) 模型和 AR(p) 模型

MA(q) 模型

- 原假设 $H_0: r_k = \rho_k$
- 拒绝域: $\{r_k : |r_k - \rho_k| > 2\sqrt{\text{Var}(r_k)}\}$
- 统计推断: 若计算所得 $r_k \in [\rho_k - 2\sqrt{\text{Var}(r_k)}, \rho_k + 2\sqrt{\text{Var}(r_k)}]$, 则认为是 MA(q) 模型, 否则拒绝原假设。

AR(p) 模型

- 若计算所得 $\hat{\phi}_{kk} \in [-2/\sqrt{n}, 2/\sqrt{n}]$, $k > p$, 则认为是 AR(p) 模型, 否则拒绝原假设。

识别方法：ARMA(p, q) 模型

ARMA(p, q) 模型

- 假设 p 给定，计算扩展的样本自相关系数，进而得到 EACF 数值表格。
- 若扩展的样本自相关系数不在区间 $[-2/\sqrt{n-k-j}, 2/\sqrt{n-k-j}]$ ，认为显著不为零，用 \times 表示，否则记为 0，可得到 EACF 符号表格。
- 根据 EACF 表格，做出统计推断。

识别方法：ARMA(1,1) 模型的理论 EACF

AR/MA	0	1	2	3	4	5	6	7	8	9	10	11	12	13
0	X	X	X	X	X	X	X	X	X	X	X	X	X	X
1	X	0*	0	0	0	0	0	0	0	0	0	0	0	0
2	X	X	0	0	0	0	0	0	0	0	0	0	0	0
3	X	X	X	0	0	0	0	0	0	0	0	0	0	0
4	X	X	X	X	0	0	0	0	0	0	0	0	0	0
5	X	X	X	X	X	0	0	0	0	0	0	0	0	0
6	X	X	X	X	X	X	0	0	0	0	0	0	0	0
7	X	X	X	X	X	X	X	0	0	0	0	0	0	0

Outline

- ① 识别方法
- ② 模拟数据

- ① 识别方法
- ② 模拟数据
 - MA 模型
 - AR 模型
 - ARMA 模型

模拟数据：MA(1) 模型

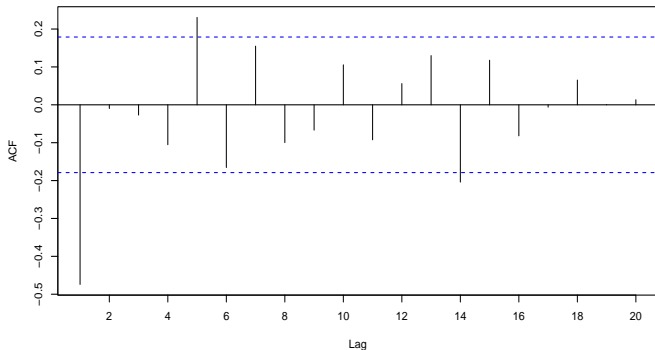
例 6.1: $\theta = 0.9$ 的 MA(1) 模

型: $\rho_1 = -0.497$, $r_1 = -0.474$, $r_1 \in [-0.497 - 2 \times 0.71/\sqrt{120}, -0.497 + 2 \times 0.71/\sqrt{120}] = [-0.627, -0.367]$, $2/\sqrt{n} = 0.1826$

$$\rho_1 = -\frac{\theta}{1 + \theta^2}$$

样本 ACF

$$\text{Var}(r_1) \approx \frac{1 - 3\rho_1^2 + 4\rho_1^4}{n}$$

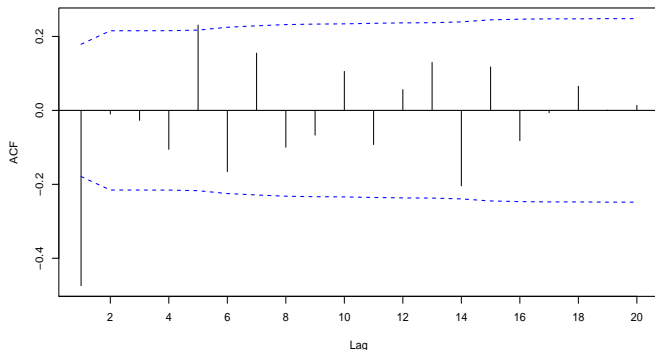


模拟数据：MA(1) 模型

例 6.1（续 1）：

$$\text{Var}(r_k) \approx \frac{1}{n} \left[1 + 2 \sum_{j=1}^q \rho_j^2 \right], \quad k > q$$

具有另一种边界的样本 ACF

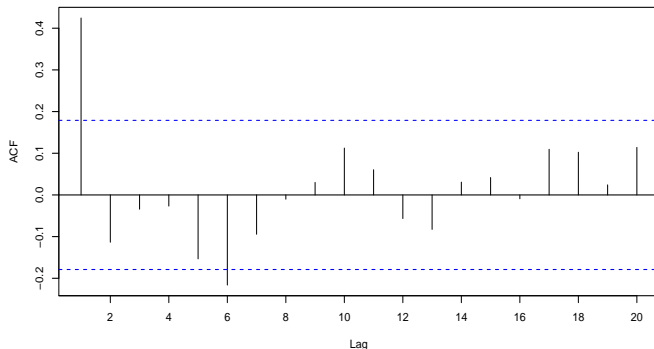


模拟数据：MA(1) 模型

例 6.2: $\theta = -0.9$ 的 MA(1) 模

型: $\rho_1 = 0.497$, $r_1 = 0.424$, $r_1 \in [0.367, 0.627]$, $2/\sqrt{n} = 0.1826$

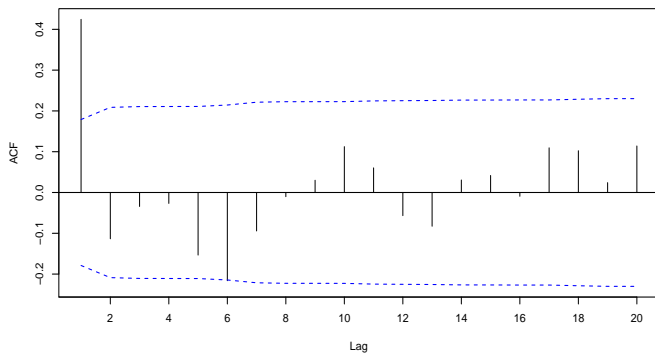
样本 ACF



模拟数据：MA(1) 模型

例 6.2（续 1）：

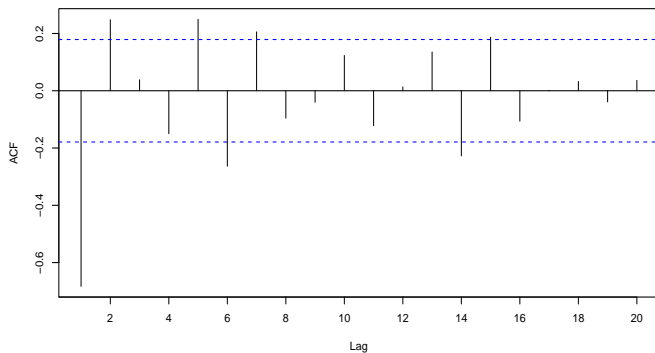
具有另一种边界的样本 ACF



模拟数据：MA(2) 模型

例 6.3: $\theta_1 = 1$, $\theta_2 = -0.6$ 的 MA(2) 模型

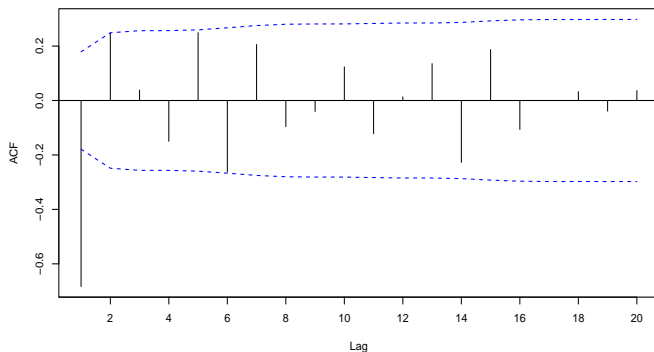
样本 ACF



模拟数据：MA(2) 模型

例 6.3（续 1）：

具有另一种边界的样本 ACF

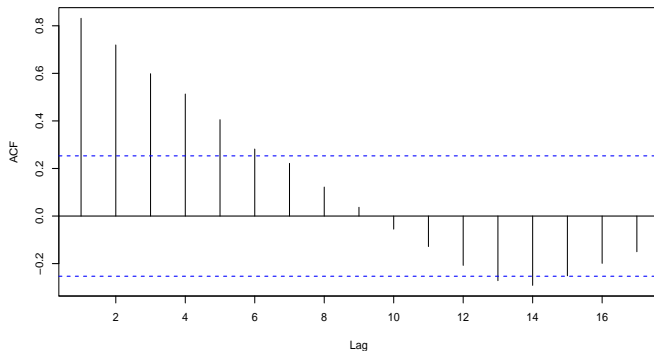


- ① 识别方法
- ② 模拟数据
 - MA 模型
 - AR 模型
 - ARMA 模型

模拟数据：AR(1) 模型

例 6.4: $\phi = 0.9$ 的 AR(1) 模型

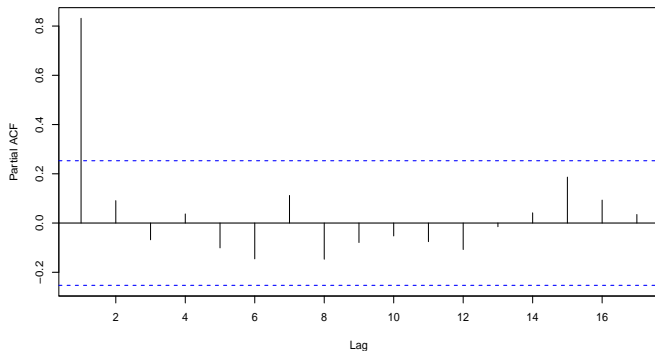
样本 ACF



模拟数据：AR(1) 模型

例 6.4（续 1）： $\phi = 0.9$ 的 AR(1) 模型

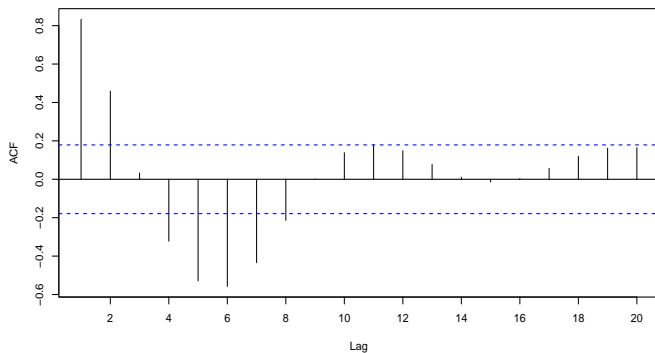
样本 PACF



模拟数据：AR(2) 模型

例 6.5: $\phi_1 = 1.5$, $\phi_2 = -0.75$ 的 AR(2) 模型

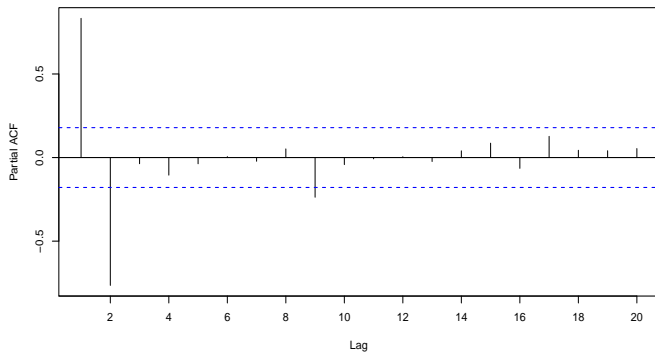
样本 ACF



模拟数据：AR(2) 模型

例 6.5（续 1）： $\phi_1 = 1.5$, $\phi_2 = -0.75$ 的 AR(2) 模型

样本 PACF

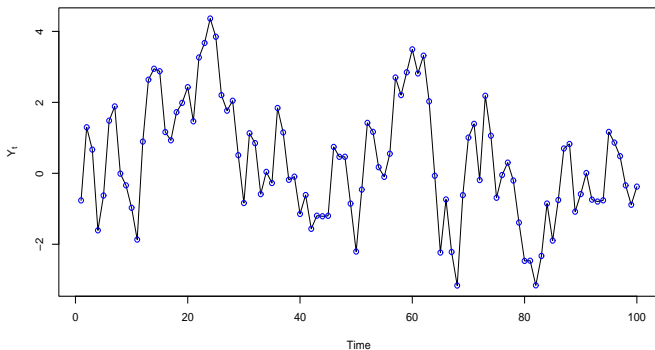


- ① 识别方法
- ② 模拟数据
 - MA 模型
 - AR 模型
 - ARMA 模型

模拟数据：ARMA(1,1) 模型

例 6.6:

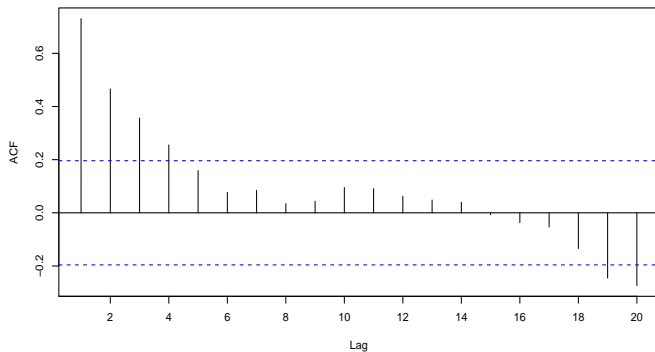
模拟的 $\phi = 0.6$, $\theta = -0.3$ 的 ARMA(1,1) 序列



模拟数据：ARMA(1,1) 模型

例 6.6 (续 1) :

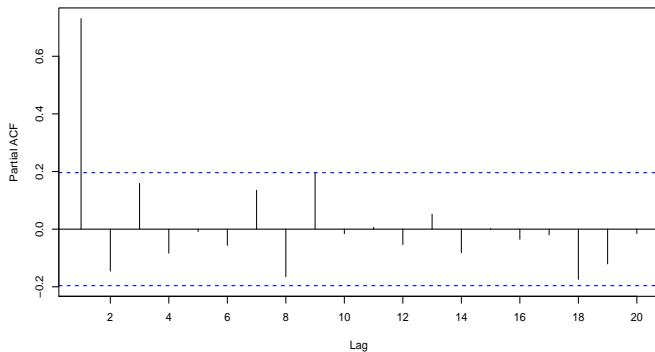
模拟的 ARMA(1,1) 序列的样本 ACF



模拟数据：ARMA(1,1) 模型

例 6.6（续 2）：

模拟的 ARMA(1,1) 序列的样本 PACF



模拟数据：ARMA(1,1) 模型

例 6.6（续 3）：

模拟的 ARMA(1,1) 序列的样本 EACF

AR/MA	0	1	2	3	4	5	6	7	8	9	10	11	12	13
0	X	X	X	X	0	0	0	0	0	0	0	0	0	0
1	X	0	0	0	0	0	0	0	0	0	0	0	0	0
2	X	0	0	0	0	0	0	0	0	0	0	0	0	0
3	X	X	0	0	0	0	0	0	0	0	0	0	0	0
4	X	0	X	0	0	0	0	0	0	0	0	0	0	0
5	X	0	0	0	0	0	0	0	0	0	0	0	0	0
6	X	0	0	0	X	0	0	0	0	0	0	0	0	0
7	X	0	0	0	X	0	0	0	0	0	0	0	0	0

时间序列分析与R 语言实战

第六章：模型识别（四）：非平稳性与其他识别方法

- ① 非平稳性
- ② 其他识别方法

- ① 非平稳性
- ② 其他识别方法

① 非平稳性

- 平稳序列与非平稳序列
- 过度差分
- 单位根检验

② 其他识别方法

平稳序列与非平稳序列

平稳时间序列：

- 均值为常数，序列围绕均值上下波动；
- 自协方差只依赖于时间间隔；
- 多数平稳序列，随滞后项的增加，样本 ACF 与 PACF 呈指数衰减或截尾。

非平稳时间序列：

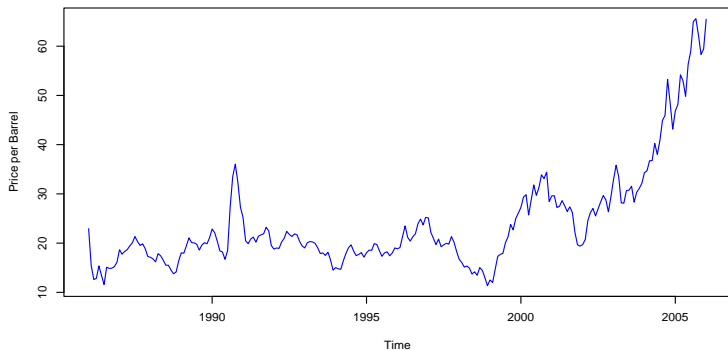
- 或不具有固定的均值；
- 或自协方差不只依赖于时间间隔；
- 随滞后项的增加，样本 ACF 一般缓慢衰减，倾向于缓慢移动，或者向上或者向下，有着明显的“趋势”。

非平稳序列的识别

- 通过时间序列趋势图判断
- 通过ACF判断
- 单位根检验

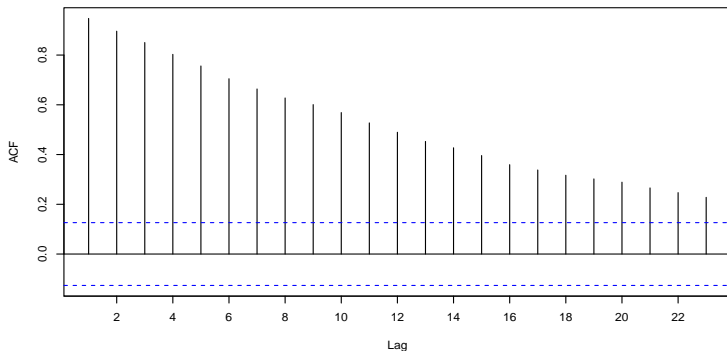
非平稳时间序列案例：原油价格

例 6.7：1986 年 1 月到 2006 年 1 月，每桶原油的月度价格时间序列图



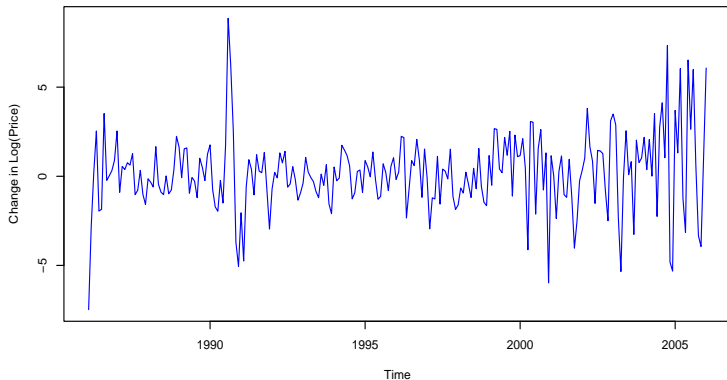
非平稳时间序列案例：原油价格

例 6.7（续 1）：每桶原油的月度价格的样本 ACF



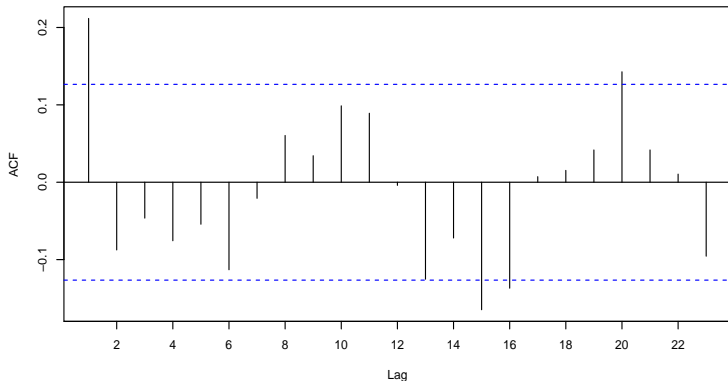
非平稳时间序列案例：原油价格

例 6.7（续2）：每桶原油的月度价格取对数差分的时序图



非平稳时间序列案例：原油价格

例 6.7（续3）：原油价格序列对数差分的样本 ACF



① 非平稳性

- 平稳序列与非平稳序列
- 过度差分
- 单位根检验

② 其他识别方法

过度差分：平稳序列

平稳序列的差分仍为平稳的：

- 假设序列 $\{Y_t\}$ 平稳，均值记为 μ ，自协方差记为 γ_k
- 一阶差分 $W_t = Y_t - Y_{t-1}$ ：

- 均值：

$$E(W_t) = E(Y_t - Y_{t-1}) = \mu - \mu = 0$$

- 自协方差：

$$\text{Cov}(W_t, W_{t-k}) = \text{Cov}(Y_t - Y_{t-1}, Y_{t-k} - Y_{t-k-1}) = 2\gamma_k - \gamma_{k-1} - \gamma_{k+1}$$

- d 阶差分仍然平稳

过度差分：非平稳序列

例 6.8: $\{Y_t\}$ 为随机游动序列

$$Y_t = Y_{t-1} + e_t$$

- 一阶差分得到白噪声模型

$$\nabla Y_t = Y_t - Y_{t-1} = e_t$$

- 二阶差分得到 $\theta = 1$ 的 MA(1) 模型

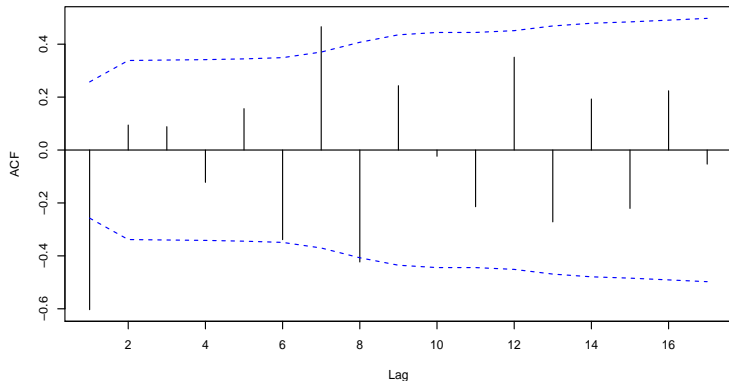
$$\nabla^2 Y_t = e_t - e_{t-1}$$

注：模型选取遵从简约原则

过度差分：非平稳序列

例 6.8（续 1）：

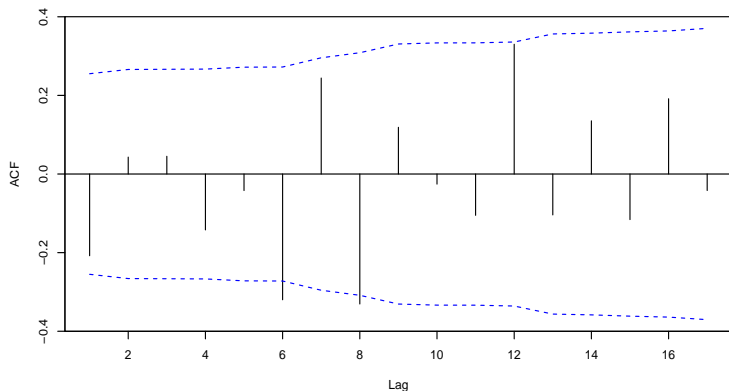
过度差分随机游动的的样本 ACF



过度差分：非平稳序列

例 6.8（续 2）：

正确差分随机游动的的样本 ACF



① 非平稳性

- 平稳序列与非平稳序列
- 过度差分
- 单位根检验

② 其他识别方法

单位根检验：DF 检验

模型：

$$Y_t = \alpha Y_{t-1} + X_t$$

其中 $\{X_t\}$ 为平稳序列。

假设 $\{X_t\}$ 为 $AR(k)$ 过程：

$$X_t = \phi_1 X_{t-1} + \phi_2 X_{t-2} + \cdots + \phi_k X_{t-k} + e_t$$

$\{X_t\}$ 序列的 AR 特征方程：

$$\Phi(x) = 1 - \phi_1 x - \phi_2 x^2 - \cdots - \phi_k x^k = 0$$

单位根检验：DF 检验

将 X_t 带入模型中：

$$\begin{aligned} Y_t &= \alpha Y_{t-1} + \phi_1 X_{t-1} + \phi_2 X_{t-2} + \cdots + \phi_k X_{t-k} + e_t \\ &= \alpha Y_{t-1} + \phi_1 (Y_{t-1} - \alpha Y_{t-2}) + \phi_2 (Y_{t-2} - \alpha Y_{t-3}) + \cdots \\ &\quad + \phi_k (Y_{t-k} - \alpha Y_{t-k-1}) + e_t \end{aligned}$$

AR 特征方程：

$$1 - \alpha x - \phi_1(x - \alpha x^2) - \phi_2(x^2 - \alpha x^3) - \cdots - \phi_k(x^k - \alpha x^{k+1}) = 0$$

即，

$$(1 - \alpha x)(1 - \phi_1 x - \phi_2 x^2 - \cdots - \phi_k x^k) = 0$$

单位根检验：DF 检验

AR 特征方程：

$$(1 - \alpha x)(1 - \phi_1 x - \phi_2 x^2 - \cdots - \phi_k x^k) = 0$$

- $\alpha = 1$ 时，序列 $\{Y_t\}$ 非平稳，但一阶差分之后平稳。
- $|\alpha| < 1$ 时，序列 $\{Y_t\}$ 平稳。
- $|\alpha| > 1$ 时，序列 $\{Y_t\}$ 非平稳。

DF 检验：

- 原假设 $H_0: \alpha = 1$ ；备择假设 $H_1: |\alpha| < 1$
- 只适用于 AR(1) 模型

单位根检验：DF 检验

DF 检验的三种形式

- 无常数项的回归过程：

$$Y_t = \alpha Y_{t-1} + X_t$$

- 含常数项的回归过程：

$$Y_t = \mu + \alpha Y_{t-1} + X_t$$

- 有线性趋势的回归过程：

$$Y_t = \mu + \beta t + \alpha Y_{t-1} + X_t$$

单位根检验：ADF 检验

模型：

$$Y_t = \alpha_1 Y_{t-1} + \alpha_2 Y_{t-2} + \cdots + \alpha_p Y_{t-p} + X_t$$

其中 $\{X_t\}$ 为平稳序列，不妨假设为 $AR(k)$ 过程。

AR 特征方程：

$$(1 - \alpha_1 x - \alpha_2 x^2 - \cdots - \alpha_p x^p)(1 - \phi_1 x - \phi_2 x^2 - \cdots - \phi_k x^k) = 0$$

- $|x_i| > 1$ 时，序列 $\{Y_t\}$ 平稳
- 若有一个单位根存在，则 $1 - \alpha_1 - \alpha_2 - \cdots - \alpha_p = 0$ ，且序列 $\{Y_t\}$ 非平稳。

单位根检验：ADF 检验

AR 特征方程：

$$(1 - \alpha_1 x - \alpha_2 x^2 - \cdots - \alpha_p x^p)(1 - \phi_1 x - \phi_2 x^2 - \cdots - \phi_k x^k) = 0$$

- 若序列 $\{Y_t\}$ 平稳,

$$\alpha_1 + \alpha_2 + \cdots + \alpha_p < 1$$

- 若序列 $\{Y_t\}$ 非平稳, 则至少存在一个单位根, 即

$$1 - \alpha_1 - \alpha_2 - \cdots - \alpha_p = 0$$

ADF 检验:

- 原假设 $H_0: a = 0$; 备择假设 $H_1: a < 0$,
其中 $a = \alpha_1 + \alpha_2 + \cdots + \alpha_p - 1$.
- 适用于 $AR(p)$ 模型

单位根检验：ADF 检验

ADF 检验的三种形式

- 无常数项的回归过程：

$$Y_t = \alpha_1 Y_{t-1} + \alpha_2 Y_{t-2} + \cdots + \alpha_p Y_{t-p} + X_t$$

- 含常数项的回归过程：

$$Y_t = \mu + \alpha_1 Y_{t-1} + \alpha_2 Y_{t-2} + \cdots + \alpha_p Y_{t-p} + X_t$$

- 有线性趋势的回归过程：

$$Y_t = \mu + \beta t + \alpha_1 Y_{t-1} + \alpha_2 Y_{t-2} + \cdots + \alpha_p Y_{t-p} + X_t$$

注：有限样本情况下或者序列含有异常点时，易出现接受原假设的现象。

- ① 非平稳性
- ② 其他识别方法

两种常用的准则

- AIC:

$$AIC = -2 \log(\text{极大似然估计}) + 2k$$

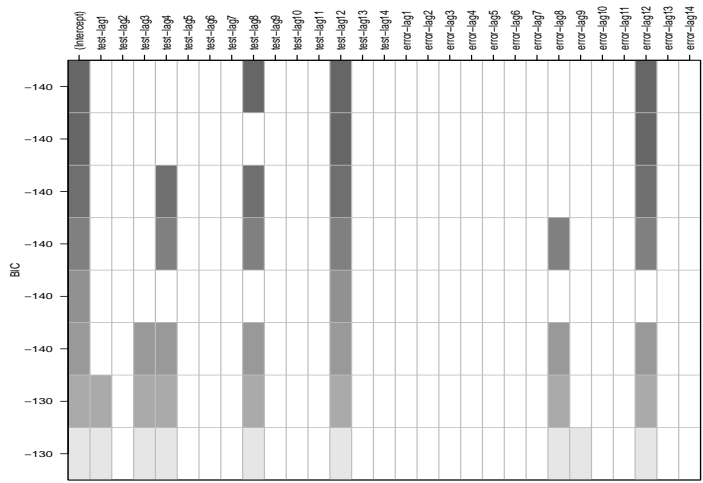
- BIC:

$$BIC = -2 \log(\text{极大似然估计}) + k \log(n)$$

其他识别方法

模型:

$$Y_t = 0.8Y_{t-12} + e_t + 0.7e_{t-12}$$



时间序列分析与R 语言实战

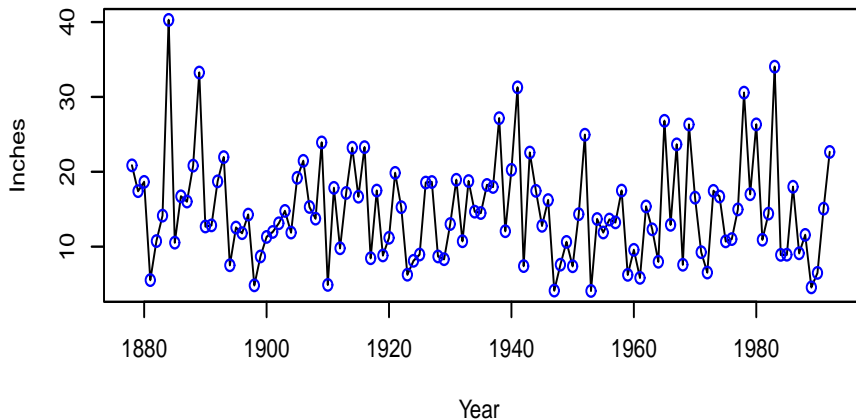
第六章：模型识别（五）：真实时间序列案例

- ① 洛杉矶降雨量
- ② 化工颜色属性
- ③ 加拿大野兔丰度
- ④ 石油价格

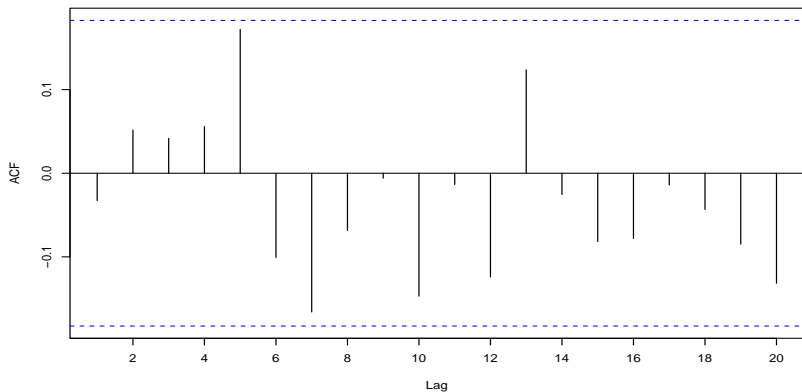
- ① 洛杉矶降雨量
- ② 化工颜色属性
- ③ 加拿大野兔丰度
- ④ 石油价格

洛杉矶降雨量

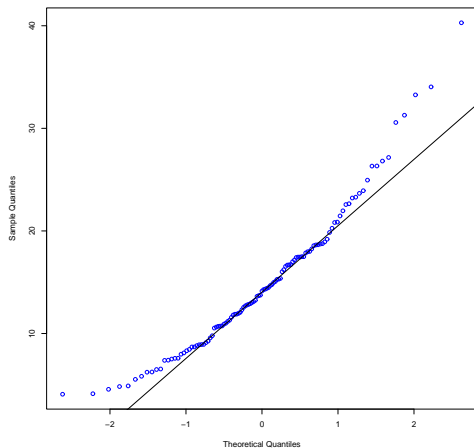
LA 1878-1992期间年降水量的时间序列图



LA 年降水量的样本 ACF

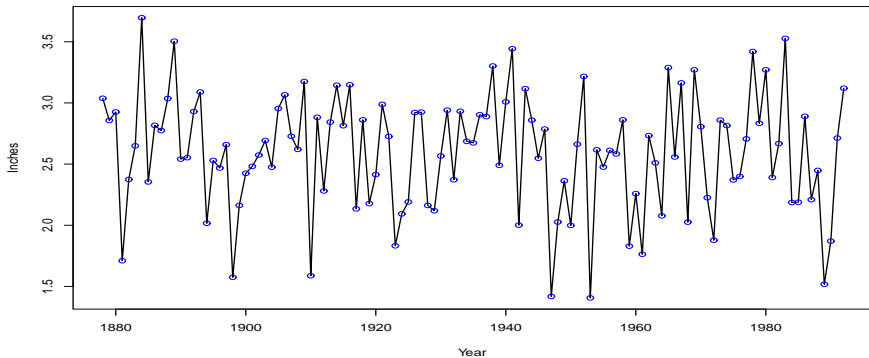


LA 年降水量的 QQ 正态图

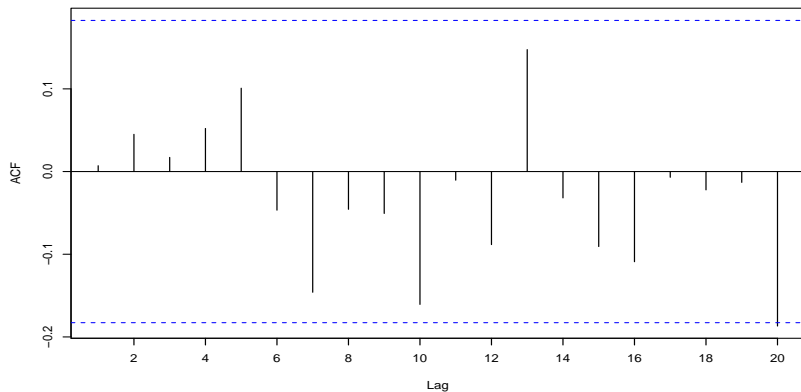


洛杉矶降雨量

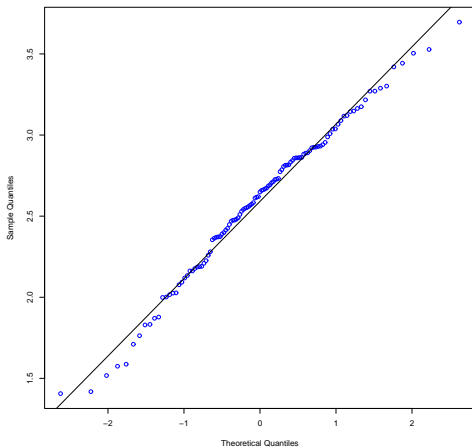
LA 年降水量对数的时间序列图



LA 年降水量对数的样本 ACF



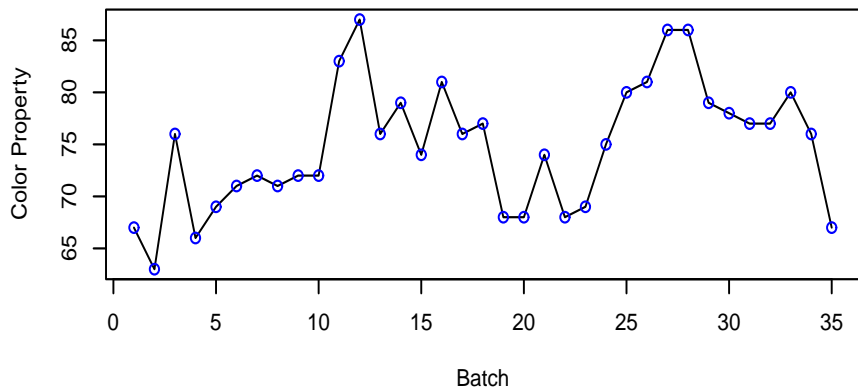
LA 年降水量对数的 QQ 正态图: $N(2.593, 0.477)$



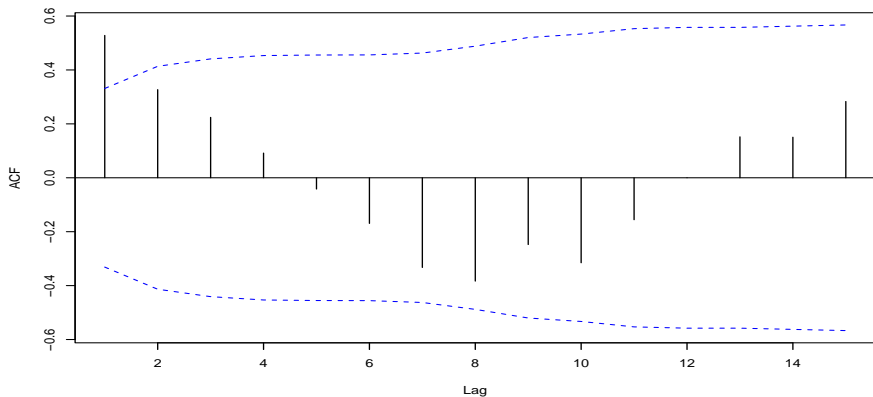
- ① 洛杉矶降雨量
- ② 化工颜色属性
- ③ 加拿大野兔丰度
- ④ 石油价格

化工颜色属性

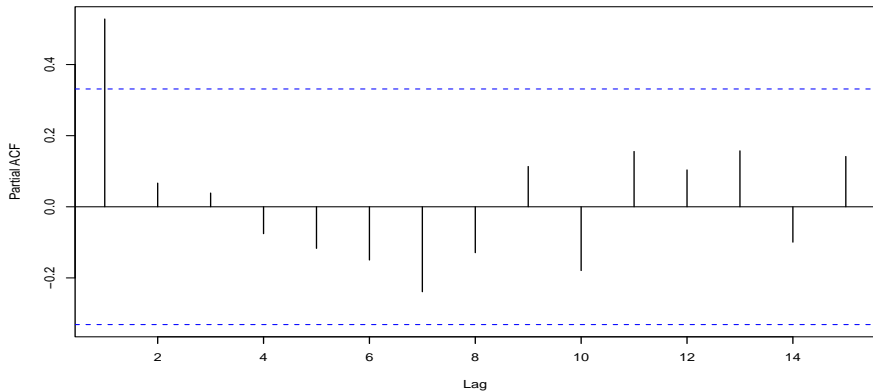
某化工过程中颜色属性的时间序列图



化工颜色属性的样本 ACF



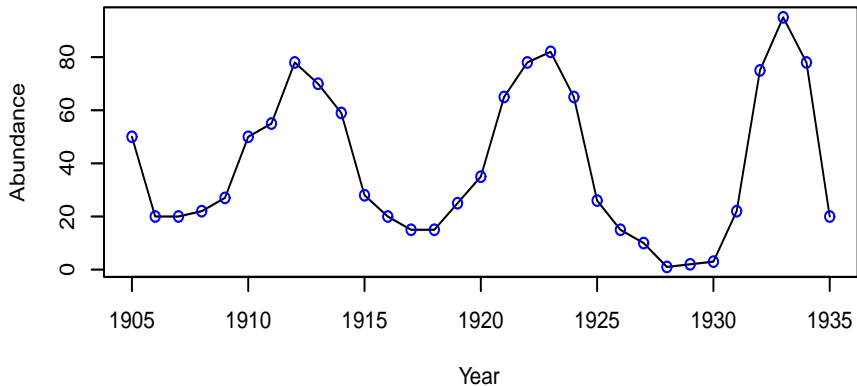
化工颜色属性的样本 PACF



- ① 洛杉矶降雨量
- ② 化工颜色属性
- ③ 加拿大野兔丰度
- ④ 石油价格

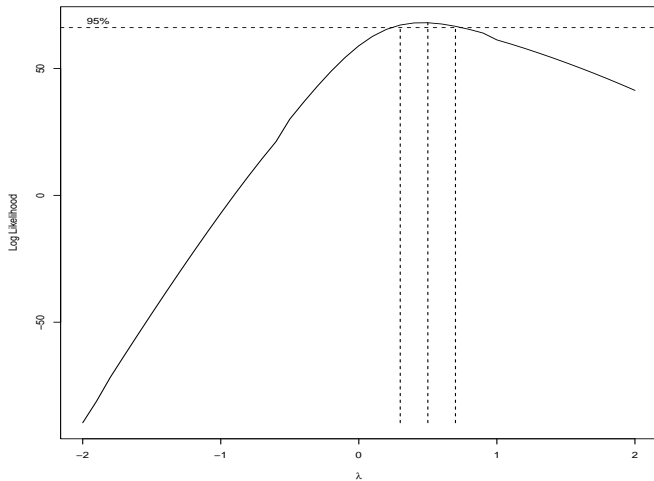
加拿大野兔丰度

加拿大野兔时间序列图



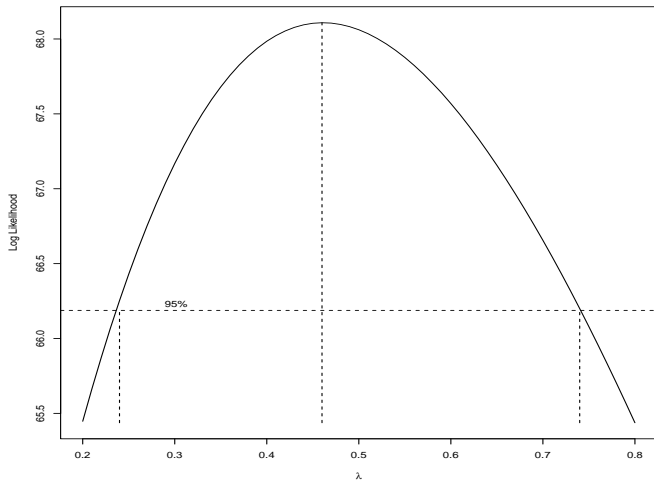
加拿大野兔丰度

加拿大野兔丰度 Box-Cox 变换



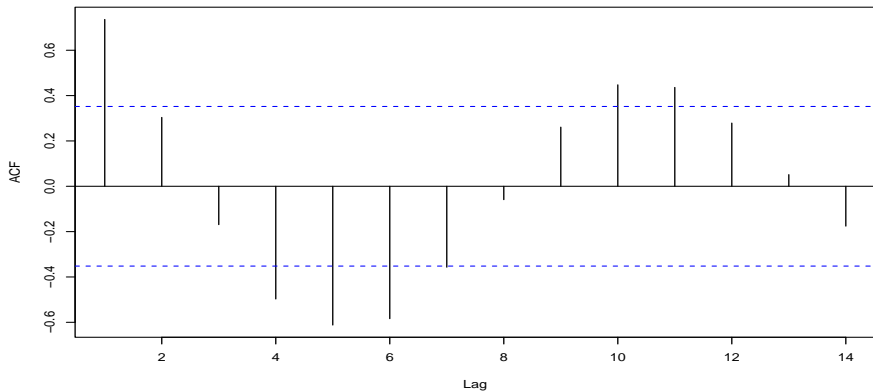
加拿大野兔丰度

加拿大野兔丰度 Box-Cox 变换



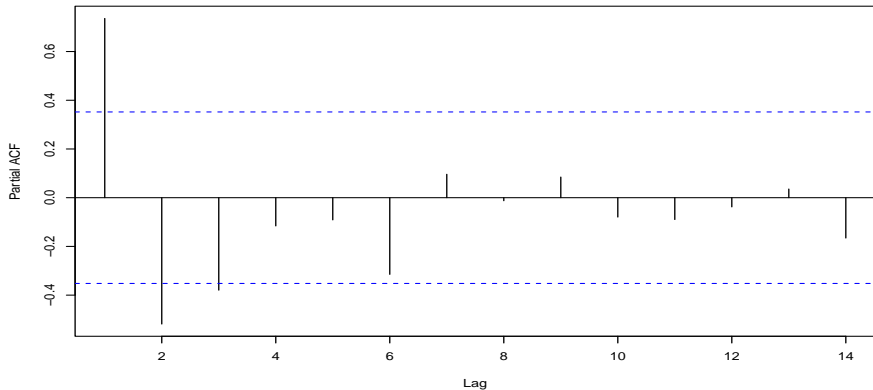
加拿大野兔丰度

加拿大野兔丰度开方序列的的样本 ACF



加拿大野兔丰度

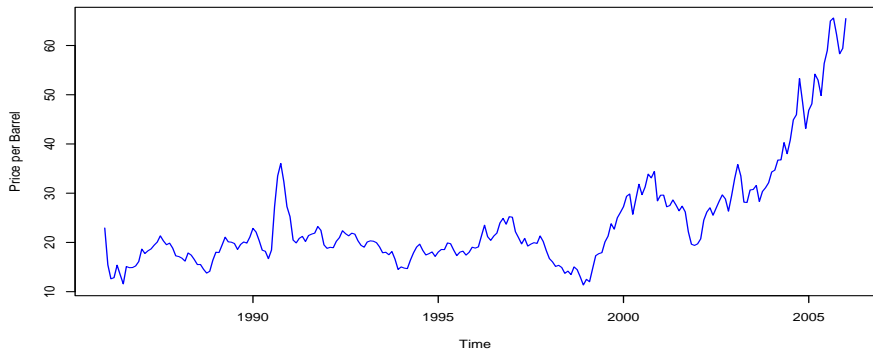
加拿大野兔丰度开方序列的的样本 PACF



- ① 洛杉矶降雨量
- ② 化工颜色属性
- ③ 加拿大野兔丰度
- ④ 石油价格

石油价格

1986 年 1 月到 2006 年 1 月，每桶原油的月度价格时间序列图



ADF 检验:

```
> adf.test(log(oil.price))
```

Augmented Dickey-Fuller Test

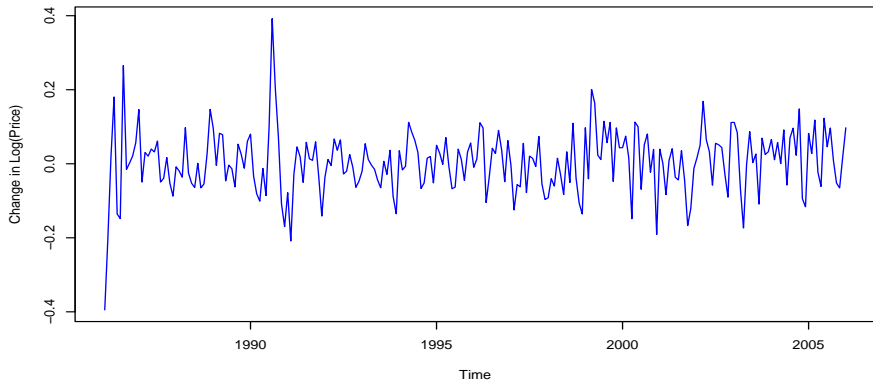
data: log(oil.price)

Dickey-Fuller = -1.1119, Lag order = 6, p-value = 0.9189

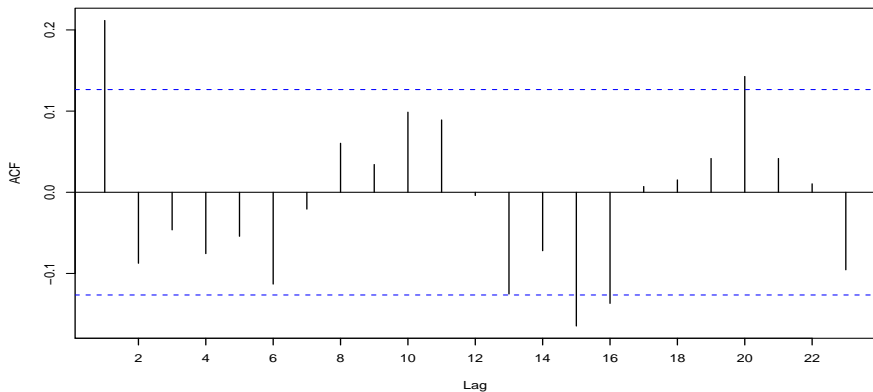
alternative hypothesis: stationary

石油价格

石油价格序列取对数之后再进行差分所得时间序列图

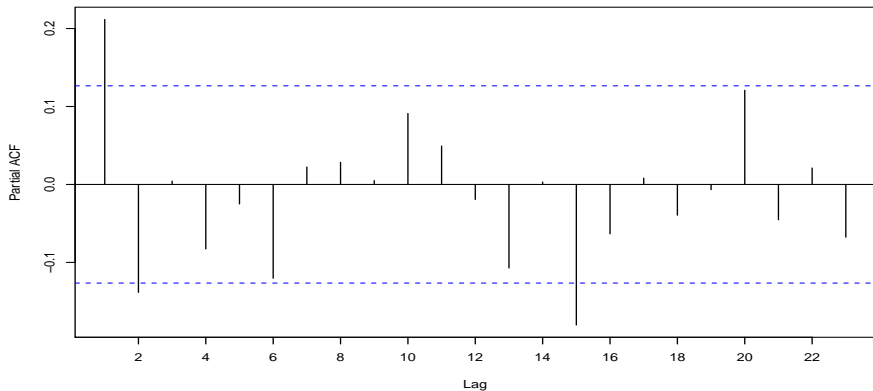


石油价格序列取对数差分的样本 ACF



石油价格

石油价格序列取对数差分的样本 PACF



石油价格序列取对数差分的 EACF

AR/MA	0	1	2	3	4	5	6	7	8	9	10	11	12	13
0	X	0	0	0	0	0	0	0	0	0	0	0	0	0
1	X	X	0	0	0	0	0	0	0	0	X	0	0	0
2	0	X	0	0	0	0	0	0	0	0	0	0	0	0
3	0	X	0	0	0	0	0	0	0	0	0	0	0	0
4	0	X	X	0	0	0	0	0	0	0	0	0	0	0
5	0	X	0	X	0	0	0	0	0	0	0	0	0	0
6	0	X	0	X	0	0	0	0	0	0	0	0	0	0
7	X	X	0	X	0	0	0	0	0	0	0	0	0	0

石油价格

石油价格序列取对数差分的最优子集 ARMA 模型

